

## ОКИСЛИТЕЛЬНАЯ И НЕ ОКИСЛИТЕЛЬНАЯ КОНВЕРСИЯ ЭТИЛЕНА В БАРЬЕРНОМ РАЗРЯДЕ

© 2023 г. А. Ю. Рябов<sup>a</sup>, \*, С. В. Кудряшов<sup>a</sup>

<sup>a</sup> Федеральное государственное бюджетное учреждение науки Институт химии нефти Сибирского отделения РАН, проспект Академический, 4, Томск, 634055 Россия

\*E-mail: a.y.ryabov@yandex.ru

Поступила в редакцию 11.01.2023 г.

После доработки 13.03.2023 г.

Принята к публикации 15.03.2023 г.

Изучена окислительная и неокислительная конверсия этилена в барьерном разряде в присутствии воды с образованием преимущественно непредельных соединений (ацетилена, бутена, бутадиена). Показана эффективность конверсии этилена в аргоне в сравнении с его окислением воздухом в оксигенаты. Простая теоретическая оценка потерь энергии электронов разряда в исходной газовой смеси и несложные кинетические расчеты позволяют объяснить изменение величины конверсии этилена, а также направление протекания процесса.

**Ключевые слова:** этилен, барьерный разряд, окисление, неокислительная конверсия, кинетика

**DOI:** 10.31857/S0023119323040125, **EDN:** QOAKFA

### ВВЕДЕНИЕ

Исследование является продолжением работ [1, 2] направленных на изучение механизма и кинетики превращения легких олефинов в барьерном разряде, для разработки нового подхода к селективному плазмохимическому превращению углеводородов в ценные нефтехимические соединения.

Ранее в работе [1], при окислении пропилена в барьерном разряде рассмотрен возможный механизм образования продуктов реакции, обсуждены маршруты образования кислородсодержащих веществ и предельных и непредельных углеводородных соединений, протекающих независимо друг от друга. Выдвинутые предположения о возможном механизме протекания реакции основаны на простых теоретических расчетах потерь энергии электронов барьерного разряда в исходных смесях. Из которых видно, что возбуждение электронных состояний молекул кислорода стимулирует протекание реакции по окислительному маршруту, а электронных состояний молекул пропилена – образование различных углеводородов.

Представляло интерес оценить применимость данного подхода для оценки направленности протекания плазмохимической конверсии прочих олеиновых углеводородов, например, этилена, что явилось целью настоящего исследования.

### ЭКСПЕРИМЕНТАЛЬНАЯ ЧАСТЬ

Окисление этилена проводили воздухом, не окислительную конверсию – в атмосфере аргона, на экспериментальной установке и по методике, представленной в работе [3]. Поток газов смешивается с водой, далее газожидкостная смесь направляется в плазмохимический реактор, где при комнатной температуре подвергается воздействию БР.

Плазмохимический реактор представляет собой планарную конструкцию и выполнен из дюралиюминия с одним диэлектрическим барьером (стеклотекстолит, толщиной 1 мм). Зазор в разрядной зоне составляет 1 мм, площадь разрядной зоны равна 48 см<sup>2</sup>. Во всех экспериментах амплитуда высоковольтных импульсов напряжения не превышала 9 кВ, частота их повторения равнялась 400 Гц. Объемный расход газовой смеси составлял 60 см<sup>3</sup>/мин, воды – 0.3 см<sup>3</sup>/мин. Анализ газообразных и жидких продуктов реакции проводился с помощью газового хроматографа, оборудованного детектором по теплопроводности и пламенно-ионизационным детектором.

Расчет потерь энергии электронов разряда в смесях этилена с воздухом и аргоном выполнен с помощью программы Bolsig+ [4]. Сечения рассеяния электронов молекулами этилена, аргона, кислорода, азота и воды взяты из базы данных [5]. Приведенная напряженность поля на разрядном промежутке имеет значения 37.2 и 90.9 Тд, при активной мощности разряда в 0.9 и 2.2 Вт, соответ-

**Таблица 1.** Содержание продуктов превращения этилена в зависимости от состава исходной газовой смеси в БР.  $[C_2H_4] = 9\%$ ,  $[Воздух/Ar] = 89\%$ ,  $[H_2O] = 2\%$

Соединение	Содержание, мас. %	
	$C_2H_4$ –воздух– $H_2O$	$C_2H_4$ – $Ar$ – $H_2O$
Метан	3.5	0.5
Ацетилен	47.1	19.4
Этан	3.8	6.1
С3	5.2	10.4
С4	7.1	49.3
С5+	5.2	14.4
Метанол	6.9	—
Ацетальдегид	10.3	—
Этанол	10.9	—
Конверсия, %	12.8	58.9
Энергозатраты, кВт ч/кг	36.1	6.6

ственno, для смесей этилен–аргон–вода и этилен–воздух–вода. Способ расчета для напряженности поля и активной мощности разряда представлен в [2, 3].

## РЕЗУЛЬТАТЫ И ОБСУЖДЕНИЕ

В табл. 1 представлен состав основных продуктов превращения этилена в различных средах. В обоих случаях, наблюдается образование углеводородов, предельных и непредельных соединений с числом атомов углерода от 1 до 6. При наличии воздуха в исходной смеси происходит образование окисгената – метанола, ацетальдегида и этанола. Содержание которых не превышает ~28.2% от общего количества всех продуктов реакции. Из углеводородов образуется преимущественно ацетилен с содержанием в 47.1%.

Замена воздуха на аргон в исходной смеси снижает содержание ацетиlena в продуктах реакции с 47.1 до 19.4%, но значительно увеличивает количество углеводородов С4 с 7.1 до 49.3%, преимущественно содержащих бутенов и бутадиена. Наблюдается повышение количества соединений с большей молекулярной массой углеводородов С5+ с 5.2 до 14.4%.

Конверсия этилена при замене в исходной смеси воздуха на аргон изменяется с 12.8 до 58.9%, кратно уменьшаются и энергозатраты на превращение этилена при использовании аргона с 36.1 до 6.6 кВт ч/кг.

Значительные изменения состава продуктов реакции и содержание некоторых веществ в них (ацетилен или бутенов и бутадиена), а также уве-

личение конверсии этилена при замене воздуха на аргон, можно объяснить, рассмотрев результаты расчетов потерь энергии электронов в исходных смесях.

Анализ потерь энергии электронов в разряде, позволяет оценить распределение энергии между молекулами в исходной смеси и их уровни возбуждения. В результате диссоциации возбужденных молекул происходит образование активных частиц плазмы, инициирующих превращение веществ, и являясь одной из основных стадий в построении математической модели плазмохимического процесса.

Расчет потерь энергии электронов разряда в смесях этилена с воздухом и аргоном представлен в табл. 2.

Из табл. 2 видно, что основные потери энергии электронов БР в смеси этилен–аргон–вода приходятся на возбуждение электронных состояний молекул этилена ~86.1%. Замена аргона на воздух в исходной смеси приводит к кратному снижению возбужденных состояний молекул этилена до ~14%, преимущественно, наблюдается возбуждение различных состояний молекул азота. Около 64% энергии выделяемой в разряде расходуется на возбуждение молекул азота, которые практически не участвуют в превращении этилена, что объясняет более низкую конверсию этилена в смеси с воздухом в сравнении с конверсией его в аргоне (табл. 1).

Теоретические расчеты потерь энергии электронов БР в смеси этилен–воздух–вода показывают, что на возбуждение электронных состояний молекул кислорода так же приходится незначительное

**Таблица 2.** Потери энергии электронов БР в смесях этилена с воздухом и этиленом.  $[C_2H_4] = 9\%$ ,  $[воздух/Ar] = 89\%$ ,  $[H_2O] = 2\%$

Потери энергии, %	$C_2H_4-Ar-H_2O$			$C_2H_4-\text{воздух}-H_2O$			
	$C_2H_4$	$Ar^*$	$H_2O$	$C_2H_4$	$O_2$	$N_2$	$H_2O$
Колебательные состояния	7.8	0.5	5.2	0.4	1.0	45.3	0.4
Электронные состояния	86.1	1.0	0.5	13.5	18.0	18.5	0.2
Ионизация	0.4	0.1	0	1.3	0.6	0.7	0

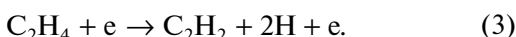
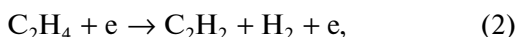
\* Для аргона приведены упругие соударения.

количество энергии электронов  $\sim 18.0\%$  (табл. 2), и как следствие, низкая начальная концентрация атомарного кислорода на стадии разрядного инициирования реакции, что объясняет низкую эффективность плазмохимического процесса окисления этилена воздухом.

Одновременно с образованием атомарного кислорода в реакционной смеси будут появляться углеводородные радикалы в результате электронного возбуждение молекул этилена, которое достигает 13.5%. Их взаимодействие с исходными молекулами или друг с другом при дальнейшем превращении приводит к появлению целого спектра продуктов (кислородсодержащие соединения и углеводороды), снижая селективность процесса (табл. 1).

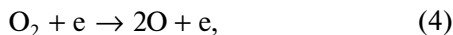
На основании анализа потерь энергии электронов БР возможно оценить верхнюю границу выхода атомов и радикалов в результате диссоциации электронно-возбужденных молекул исходной смеси. Сравнение состава активных частиц, образующихся на стадии разрядного инициирования реакций, для смесей этилена с воздухом и аргоном позволит рассмотреть особенности протекания реакций окисления и неокислительной конверсии в БР.

Инициирование плазмохимического процесса для смесей этилена с воздухом и аргоном происходит в результате следующего основного набора реакций [6]:



Из табл. 2 видно, что на возбуждение молекул аргона приходится малое количество энергии электронов БР, что позволяет пренебречь их участием в процессе превращения этилена.

Наличие воздуха в исходной смеси подразумевает основные электронно-молекулярные реакции для молекул кислорода и азота [7]:



Моделирование стадии разрядного инициирования реакции за один высоковольтный импульс напряжения выполнено применением программного пакета Kintecus [8]. Необходимые для расчетов значения эффективных констант скорости электронно-молекулярных реакций диссоциации молекул ( $k_{eff}$ ) для исходных смесей получены с использованием программного пакета Bolsig+ [4]. Выражение для оценки эффективной константы электронно-молекулярной реакции ( $k_{eff}$ ), связывающее действительную константу скорости электронно-молекулярной реакции с ключевыми параметрами БР, подробно описаны в работах [3, 9].

На рис. 1 представлен расчетный состав основных химически-активных и нейтральных частиц, образующихся на стадии разрядного инициирования реакции для смесей, этилен–воздух–вода и этилен–аргон–вода в БР за один высоковольтный импульс напряжения. Видно, что для смеси с воздухом наблюдается образование атомов азота и его возбужденных молекул. Ранее [8] показано, что наличие молекул азота в исходной смеси не оказывает заметное влияние на образование кислородсодержащих продуктов при окислении легких олефинов. Наиболее вероятно атомы азота и возбужденные молекулы азота при взаимодействии с молекулярным кислородом образуют различные оксиды азота или дезактивируются до молекулярного азота [9, 10].

Согласно расчетам для смеси этилен–воздух–вода наибольшее количество радикалов приходится на атомарный кислород  $\sim 27.5\%$ , но окислительная реакция в данном случае происходит малоэффективно, образование кислородсодержащих веществ в продуктах составляет всего  $\sim 28.2\%$  (табл. 1). Образование ацетилена ( $C_2H_2$ ) в расчетном составе частиц составляет 6.1% по сравнению с его количеством в 15.2% для смеси с аргоном, однако, в продуктах реакции наблюдается обратная зависимость: образование ацетилена в присутствии воздуха в несколько раз больше в случае превращения смеси этилена с аргоном (табл. 1).

Рассмотрим некоторые реакции, влияющие на образование продуктов превращения этилена в БР в присутствии воздуха и аргона. Наличие кис-

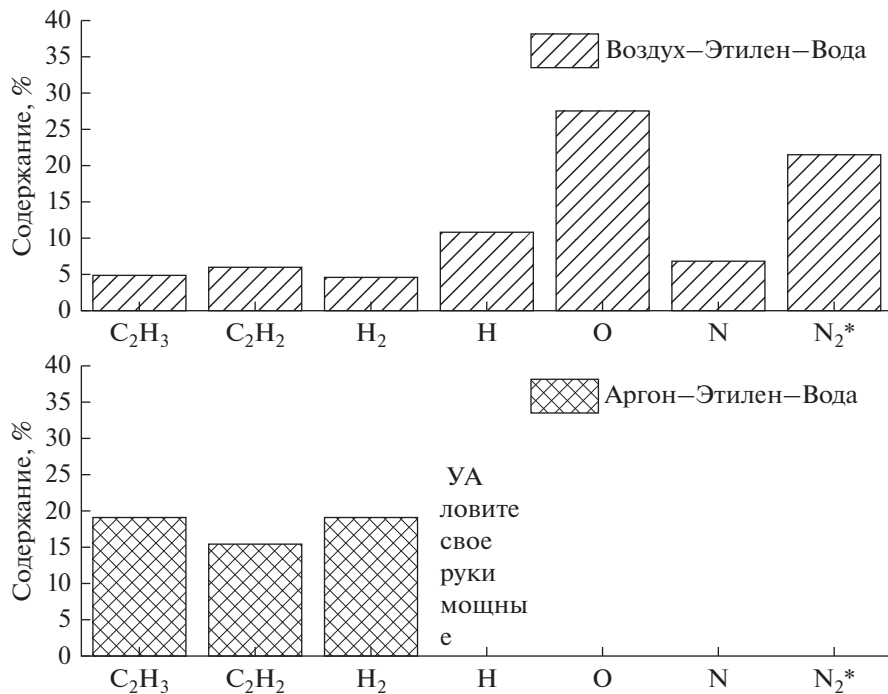
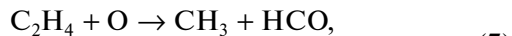
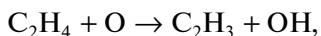


Рис. 1. Расчетный состав химически активных и нейтральных частиц, образующихся на стадии разрядного инициирования реакции для смесей, этилен–воздух–вода и этилен–аргон–вода в БР за один высоковольтный импульс напряжения.

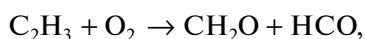
лорода в смеси этилен–воздух–вода определяет направленность реакций с их участием:



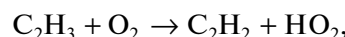
$$k = 7.41 \times 10^{-13} \text{ cm}^3/\text{molecule} \times \text{s} [11],$$



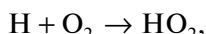
$$k = 2.56 \times 10^{-15} \text{ cm}^3/\text{molecule} \times \text{s} [12],$$



$$k = 1.06 \times 10^{-11} \text{ cm}^3/\text{molecule} \times \text{s} [13],$$



$$k = 2.01 \times 10^{-13} \text{ cm}^3/\text{molecule} \times \text{s} [11],$$



$$k = 7.51 \times 10^{-11} \text{ cm}^3/\text{molecule} \times \text{s} [14],$$

Видно, что реакции с участием молекулярного или атомарного кислорода могут способствовать образованию не только кислородсодержащих соединений, но и молекул ацетилена ( $\text{C}_2\text{H}_2$ ), что хорошо согласуется с экспериментом. Дополнительно, взаимодействие атомарного водорода с молекулой кислорода (реакция (11)) наиболее вероятно по сравнению с конкурирующей реакцией гидрирования непредельных связей в молекулах углеводородов (реакция (14), (15)), что так же

способствует увеличению содержания ацетилена в продуктах реакции при наличии кислорода в смеси.

В отсутствии кислорода образовавшиеся частицы взаимодействуют между собой и молекулами этилена:



$$k = 3.91 \times 10^{-18} \text{ cm}^3/\text{molecule} \times \text{s} [11],$$



$$k = 9.5 \times 10^{-11} \text{ cm}^3/\text{molecule} \times \text{s} [15],$$



$$k = 1.3 \times 10^{-12} \text{ cm}^3/\text{molecule} \times \text{s} [11],$$



$$k = 1.84 \times 10^{-13} \text{ cm}^3/\text{molecule} \times \text{s} [16],$$



$$k = 6.5 \times 10^{-11} \text{ cm}^3/\text{molecule} \times \text{s} [15].$$

Наглядно видно, что рекомбинация основных радикалов приводит к образованию преимущественно соединений с числом атомов углерода в молекуле 4 (бутена и бутадиена), что подтверждается экспериментальными данными.

## ЗАКЛЮЧЕНИЕ

Изучена окислительная и неокислительная конверсия этилена в барьерном разряде в присутствии воды. Основными продуктами являются непредельные углеводороды (ацетилен, бутен, бутадиена). Эффективность конверсии этилена в аргоне выше, чем в случае его окисления воздухом в оксигенаторы. Простая теоретическая оценка потерь энергии электронов разряда в исходной газовой смеси и несложные кинетические расчеты позволяют объяснить особенности механизма реакции, а также предсказать направление протекания процесса. Подобные выводы ранее были сделаны и для процесса превращения пропилена в БР.

Это свидетельствует о принципиальной возможности управления направлением протекания плазмохимических реакций с участием углеводородов и создает научные предпосылки для разработки нового поколения процессов переработки углеводородного сырья для целей нефтехимического и органического синтеза.

## ИСТОЧНИК ФИНАНСИРОВАНИЯ

Работа выполнена в рамках государственного задания ИХН СО РАН, финансируемого Министерством науки и высшего образования Российской Федерации (проект FWRN-2021-0003).

## СПИСОК ЛИТЕРАТУРЫ

1. Рябов А.Ю., Кудряшов С.В., Очередько А.Н., Мукушева Г. // Химия высоких энергий. 2021. Т. 55. № 4. С. 333.
2. Рябов А.Ю., Кудряшов С.В., Очередько А.Н. // Химия высоких энергий. 2022. Т. 56. № 3. С. 245.
3. Kudryashov S., Ryabov A., Shchyogoleva G. // J. Phys. D: Appl. Phys. 2016. V. 49. P. 025205.
4. Hagelaar G.J.M. // Plasma Sources Sci. Technol. 2005. V. 14. № 4. P. 722.
5. Viehland database [Электронный ресурс]. Режим доступа: [www.lxcat.net](http://www.lxcat.net).
6. Janev R.K., Reiter D. // Physics of Plasmas. 2004. V. 11. P. 780.
7. Stefanović I. et al. // Plasma Sources Sci. Technol. 2001. V. 10. P. 406.
8. Ianni J.C. Kintecus V. 5.5. 2015. <http://www.kintecus.com>.
9. Кудряшов С.В., Рябов А.Ю., Очередько А.Н. // Химия высоких энергий. 2018. Т. 52. № 2. С. 150.
10. Рябов А.Ю., Кудряшов С.В., Очередько А.Н. // Химия высоких энергий. 2021. Т. 55. № 3. С. 237.
11. Tsang W., Hampson R.F // J. Phys. Chem. Ref. Data. 1986. V. 15.
12. Mahmud K., Marshall P., Fontijn A. // J. Phys. Chem. 1987. V. 91.
13. Park J.-Y., Heaven M.C., Gutman D. // Chem. Phys. Lett. 1984. V. 104.
14. Atkinson R., Baulch D.L., Cox R.A. et al. // J. Phys. Chem. Ref. Data. 1997. V. 26. P. 1329.
15. Laufer A.H., Fahr A. // Chem. Rev. 2004. V. 104. P. 2813–2832.
16. Baulch D.L., Cobos C.J., Cox R.A. et al. // J. Phys. Chem. Ref. Data. 1992. V. 21. P. 411.